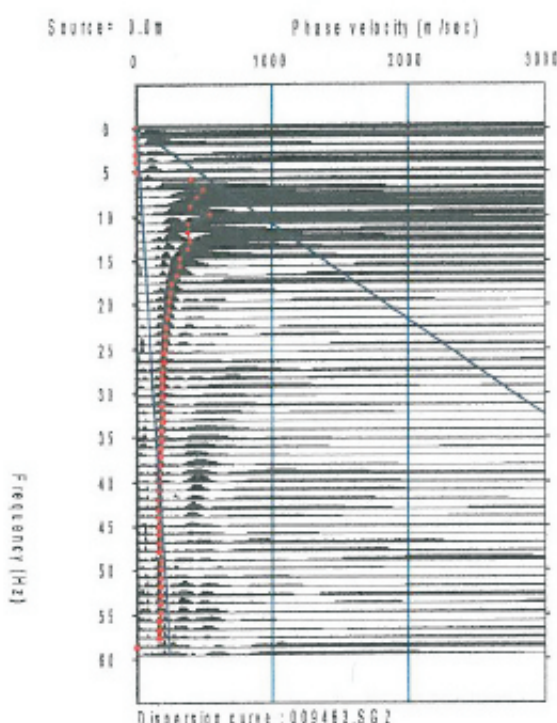


Elaborazione MASW



Curva di dispersione

I dati acquisiti per la linea LN2P a riflessione sono stati sottoposti alla seguente sequenza di processing, diagrammati nella tabella 7.8.

SEQUENZA LN2 P	PARAMETRI DI PROCESSING
DATUM STATICs	Correction from geometry file Datum 0
TRACE EDITING	
BANDPASS FILTER	25 to 95 Hz
NOTCH FILTER	50 Hz Bandwidth 2 Hz
CDP SORT	
VELOCITY ANALYSIS	
NORMAL MOVEOUT	Stretch 0,5
STACK	Straight stack Scalar 1,0
TRACE SCALING	RMS amplitude AGC Time gate 181 ms Amplitude 459 Trace balancing

Tab.7.8- Sequenza delle operazioni di processing eseguite per la linea LN2P.

Di seguito vengono illustrati i risultati conseguiti da tali indagini: nella figura 7.64 è riportata la sezione stack finale della base LN2P a seguito della sequenza di processing descritta in precedenza, mentre nella figura 7.65 è riportata la sezione migrata interpretata.

LN2P (Stack)

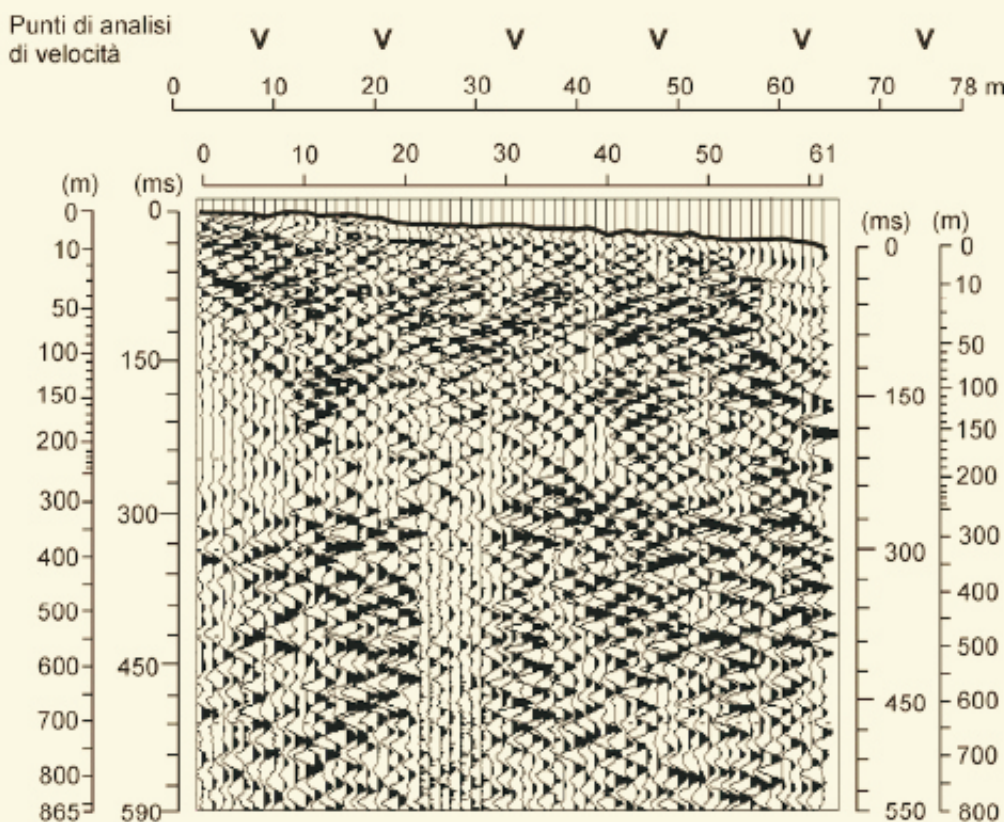


Fig.7.64- Sezione stack finale relativa al profilo sismico a riflessione LN2P.

In dettaglio si possono distinguere quattro sismostrati:

- il primo, ascrivibile al terreno di riporto, presenta spessori in media di 6 metri, con velocità di circa 400 m/sec;
- il secondo sismostrato, attribuibile ai depositi di alterazione delle ignimbriti, presenta uno spessore di circa 40m, con velocità di circa 1200 m/sec;
- il terzo sismostrato, corrispondente alle ignimbriti quarzo-latitiche del Monte Amiata, presenta spessori dell'ordine di circa 200m, con velocità di circa 2300 m/sec. E' evidente dalla fig. 7.65 come tale intervallo sismico sia interessato da numerose discontinuità che articolano il substrato vulcanico;
- il quarto ed ultimo sismostrato, attribuibile alle argille a Palombini del Cretaceo inferiore raggiunge una profondità di oltre 330m dal piano campagna, con velocità di circa 3700m/sec.

Nella tabella 7.9 sono riportate le velocità medie computate per i differenti intervalli.

LN2P	
Tempi (ms)	Velocità (m/sec)
0-30	400
30-100	1200
100-180	2300
180-360	3700

Tab.7.9- Valori di velocità e tempi relativi alla linea sismica a riflessione LN2P.

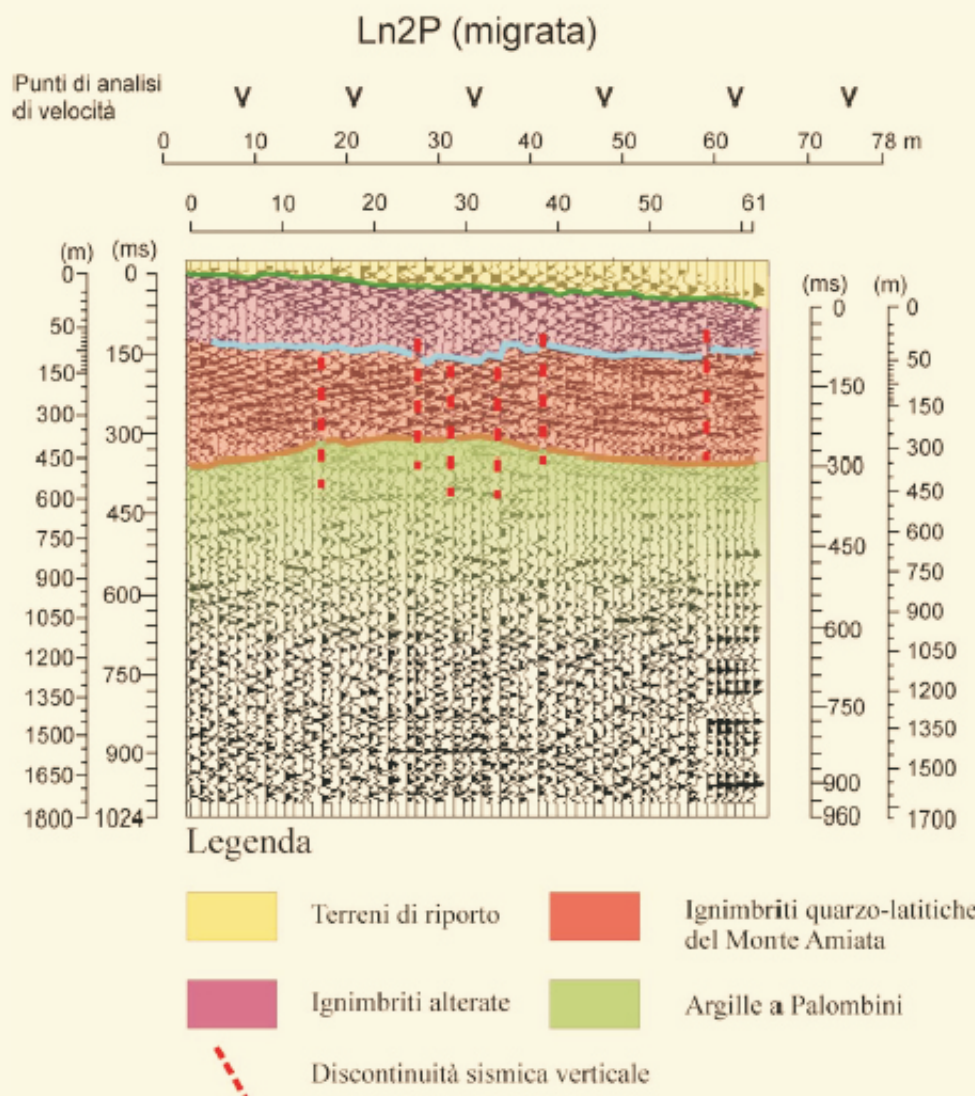


Fig.7.65- Sezione migrata interpretata relativa al profilo sismico a riflessione LN2P.

I dati acquisiti per la linea LN3P a riflessione sono stati sottoposti alla seguente sequenza di processing, diagrammati nella tabella 7.10.

SEQUENZA LN3 P	PARAMETRI DI PROCESSING
DATUM STATICs	Correction from geometry file Datum 0
TRACE EDITING	
BANDPASS FILTER	22 to 103 Hz
NOTCH FILTER	50 Hz Bandwith 2 Hz
SPIKING	Operator length 64 ms
DECONVOLUTION	Pre-whitner (%)=0.1
CDP SORT	
VELOCITY ANALISYS	
NORMAL MOVEOUT	Stretch 0,5
STACK	Straight stack Scalar 1,0
BANDPASS FILTER	22 to 103 Hz
NOTCH FILTER	50 Hz Bandwith 2 Hz
TRACE SCALING	Trace balancing

Tab.7.10- Sequenza delle operazioni di processing eseguite per la linea LN3P.

Di seguito vengono illustrati i risultati conseguiti da tali indagini: nella figura 7.66 è riportata la sezione stack finale della base LN3P a seguito della sequenza di processing descritta in precedenza, mentre nella figura 7.68 è riportata la sezioni migrata interpretata

LN3P (Stack)

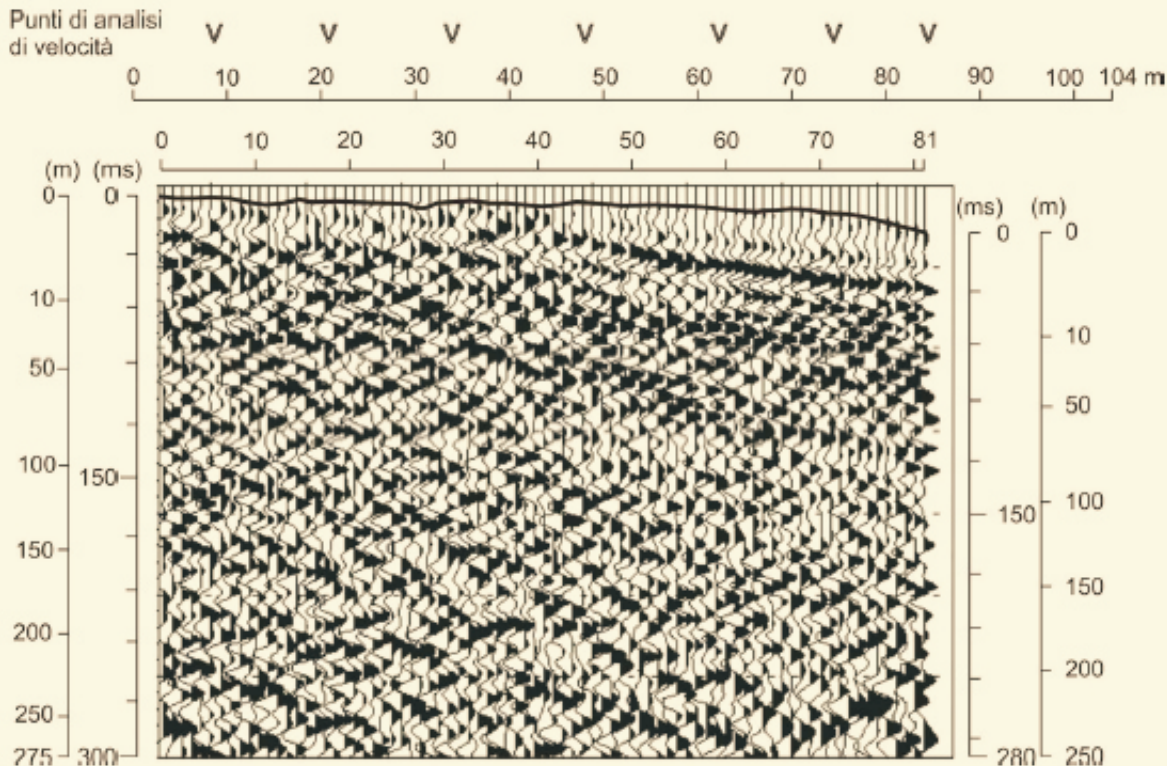


Fig.7.66- Sezione stack finale relativa al profilo sismico a riflessione LN3P.

In dettaglio si possono distinguere quattro sismostrati:

- il primo, ascrivibile al terreno di riporto, presenta spessori in media di 6 metri, con velocità di circa 400 m/sec;
- il secondo sismostrato, attribuibile ai depositi di alterazione delle ignimbriti, presenta uno spessore di circa 30m, con velocità di circa 1200 m/sec;
- il terzo sismostrato, corrispondente alle ignimbriti quarzo-latitiche del Monte Amiata, presenta uno spessore variabile da 400m a 100m attraversando la sezione, con velocità di circa 2300 m/sec. E' evidente dalla fig. 7.67 come tale intervallo sismico sia interessato da numerose discontinuità che articolano il substrato vulcanico;
- il quarto ed ultimo sismostrato, attribuibile alle argille a Palombini del Cretaceo inferiore raggiunge una profondità di oltre 400m dal piano campagna, con velocità di circa 3700m/sec.

Ln3P (migrata)

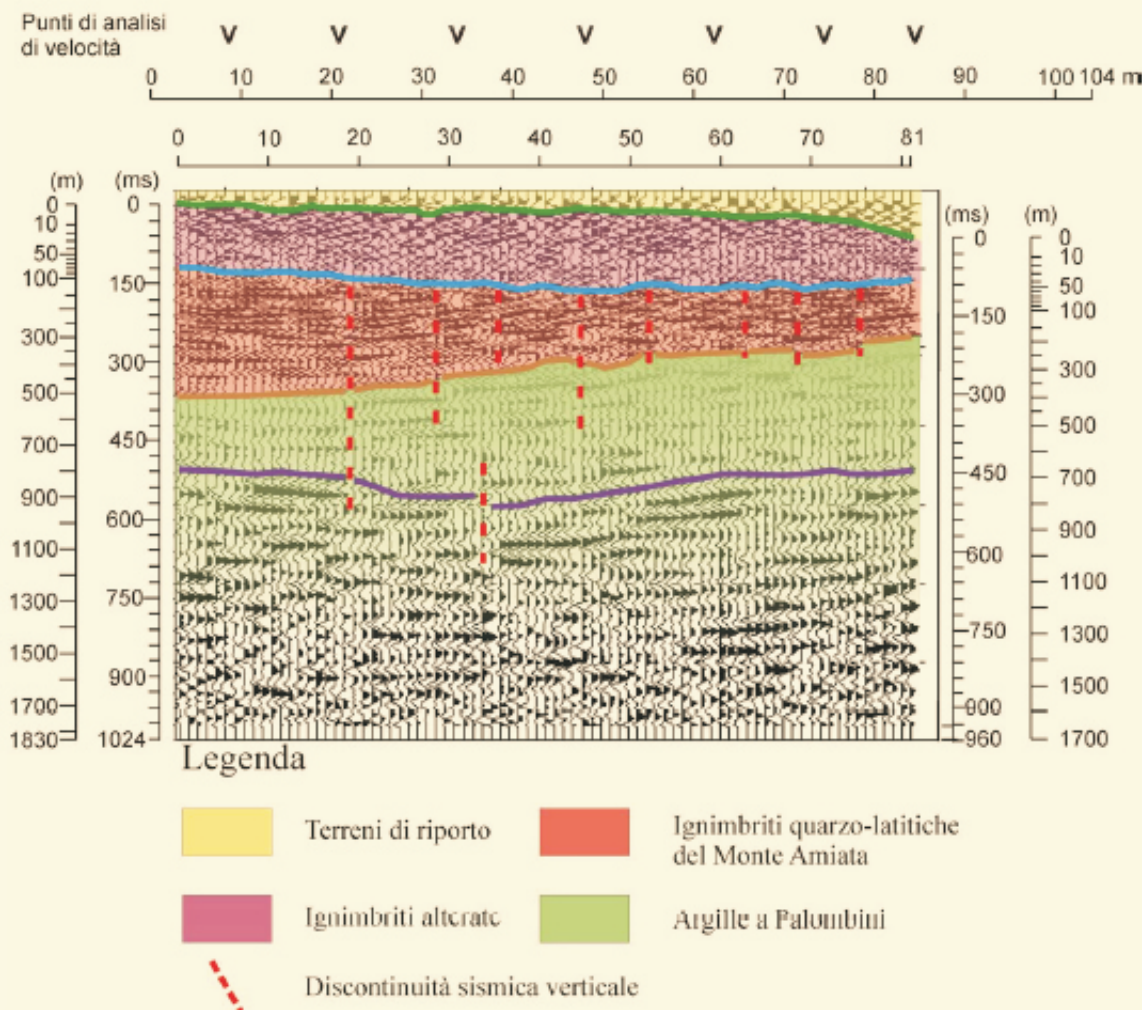


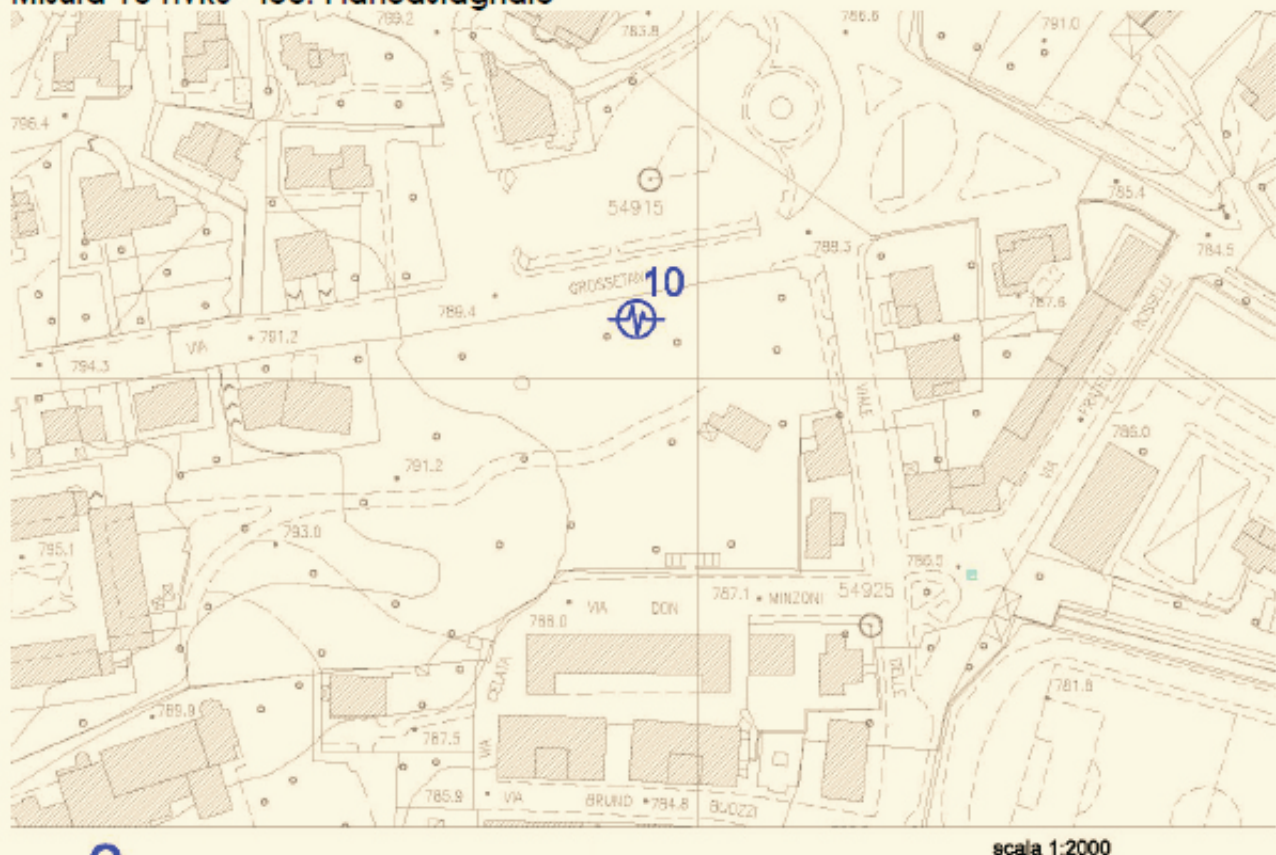
Fig.7.67- Sezione migrata interpretata relativa al profilo sismico a riflessione LN3P.

Nella tabella 7.11 sono riportate le velocità medie computate per i differenti intervalli di "tempi a due vie".

LN3P	
Tempi (ms)	Velocità (m/sec)
0-30	400
30-90	1200
90-150	2300
150-360	3700
360-570	4000

Tab.7.11- Valori di velocità e tempi relativi alla linea sismica a riflessione LN3P.

Misura 10 HVRS - loc. Piancastagnaio



2

Misura HVRS e numero identificativo

Figura 6.3.17 – individuazione del sito di studio



Figura 6.3.18: rilievo sismico



STUDIO DI GEOLOGIA GIORGI/FILIPPO

Sede: Strada d'Istieto n. 6 – 53100 SIENA
 Tel: +39 0577 378209 - Fax: +39 0577 378209
www.studiogf.eu
 e-mail: filippo.giorgi@studiogf.eu
 C.F.: GRGFPP709301726P – P.IVA: 01327030522

H/V Spectral ratio

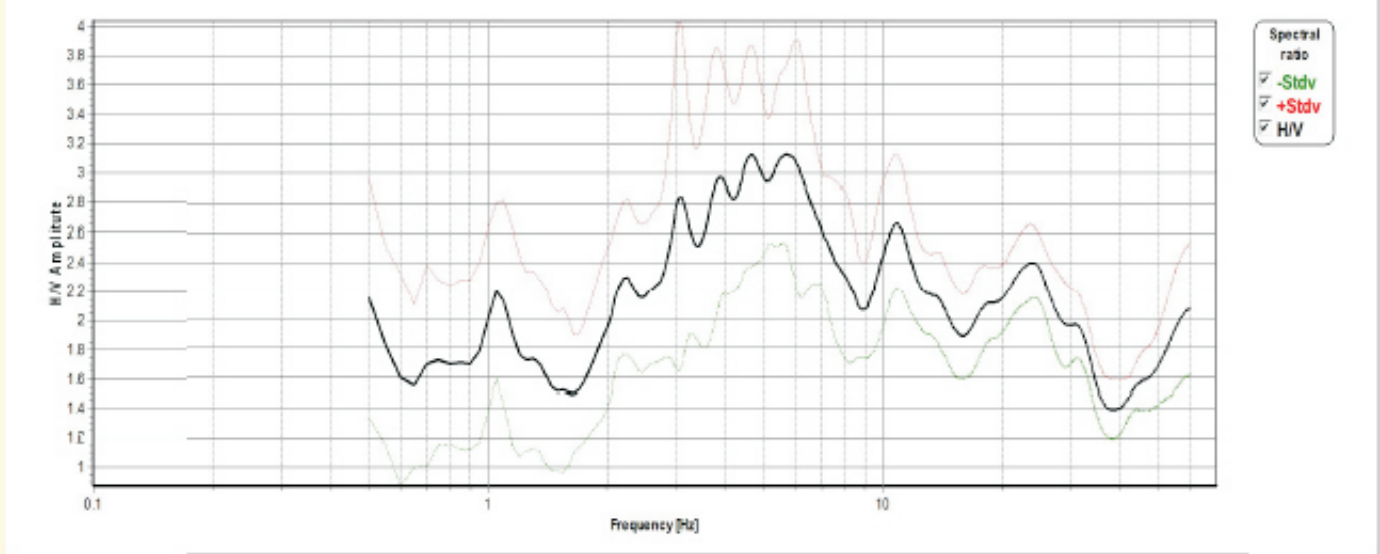
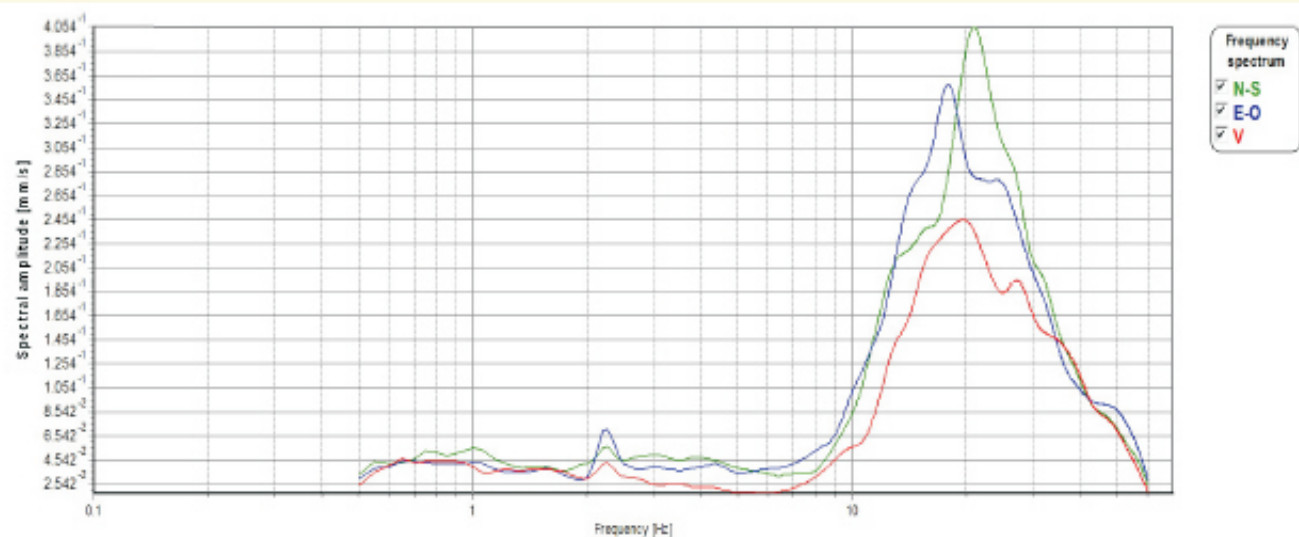
Analysis site: Piancastagnaio

Measure point: 10

Note:

Analysis parameters			
Sample frequency [Hz]:	200.00	Start recordings:	19/06/2014 12:36:13
Automatic spike removal:	No	Stop recordings:	19/06/2014 12:56:13
LTA [s]:	6.0	High pass frequency [Hz]:	0.60
STA [s]:	0.6	Low pass frequency [Hz]:	60.00
Ratio:	1.9	Nw number of windows:	31
Lw Windows [s]:	20	Recording length [s]:	1220
Overlap Windows s]:	0.2	Discarded windows:	30
Konno-Ohmachi parameter:	40		

Analysis results			
H/V peak frequency f_0 [Hz]:	4.894	Standard deviation [Hz]:	1.167



H/V Spectral ratio

Analysis site: **Piancastagnaio**

Measure point: **10**

Criteria for a reliable H/V curve		
$f_\theta > 10/L_w$	$4.89 \geq 0.60$	Yes
$N_c(f_\theta) > 200$	$3034.00 \geq 200.00$	Yes
$sA(f_\theta) < 2$ for $0.5f_\theta < f < 2f_\theta$	exceeded 0 out of 147	Yes
Criteria for a clear H/V peak		
Exists f in $[f_\theta/4, f_\theta]$ where $A(f) < A_\theta/2$	1.600	Yes
Exists f in $[f_\theta, 4f_\theta]$ where $A(f) < A_\theta/2$	Not exist	No
$A_\theta > 2$	$3.01 > 2.00$	No
Criteria for a stable H/V peak		
$Fpeak[A(f) \pm sA(f)] = f_\theta \pm \%$	$37.67\% > 5.00\%$	No
$s_f < e(f_\theta)$	$1.1667 > 0.2447$	No
$sA(f_\theta) < ?(f_\theta)$	$0.5948 < 1.6800$	Yes

Lw	window length
Nw	number of windows used in the analysis
f	current frequency
f_θ	H/V peak frequency
s_f	standard deviation of H/V peak frequency
$N_c = f_\theta \times L_w \times N_w$	number of significant cycles
$AH/V(f)$	H/V curve amplitude at frequency f
A_θ	H/V peak amplitude at frequency f_θ
$sA(f)$	standard deviation of $AH/V(f)$
$sA(f_\theta)$	standard deviation of $AH/V(f)$ at f_θ frequency
$e(f_\theta)$	threshold value for the stability condition $s_f < e(f_\theta)$
$?(f_\theta)$	threshold value for the stability condition $sA(f_\theta) < ?(f_\theta)$
$Fpeak[A(f) \pm sA(f)] = f_\theta \pm \%$	maximum deviation from the f_θ peak, expressed as a percentage

Threshold values for s_f and $sA(f_\theta)$					
f_θ frequency range [Hz]	< 0.2	0.2 – 0.5	0.5 – 1.0	1.0 – 2.0	> 2.0
$e(f_\theta)$ [Hz]	0.25 f_θ	0.2 f_θ	0.15 f_θ	0.1 f_θ	0.05 f_θ
$?(f_\theta)$ for $sA(f_\theta)$	3.0	2.5	2.0	1.78	1.58

H/V Spectral ratio

Analysis site: Piancastagnaio

Measure point: 10

